УЛК 541.63:538.27:661.718.1

ФИЗИЧЕСКАЯ ХИМИЯ

Академик Б. А. АРБУЗОВ, Ю. Ю. САМИТОВ, Ю. М. МАРЕЕВ, В. С. ВИНОГРАЛОВА

СТЕРЕОИЗОМЕРИЯ **И** ПСЕВДОВРАЩЕНИЕ В НЕКОТОРЫХ СПИРОФОСФОРАНАХ

В последнее время в области химии органических производных пентаковалентного фосфора наблюдается повышенный интерес к динамической стереохимии спирофосфорановых систем (1-3). Для стереохимических исследований особый интерес могут представить спирофосфораны, содержащие один или несколько хиральных центров, что значительно обогащает явление полиздрической стереоизомерии таких соединений. Продолжая наши исследования в этом направлении мы синтезировали (4) и методами я.м.р. Н и я.м.д.р. Н — Р з изучили стереохимию спирофосфоранов I и II:

Если проводить исследование I и II в ахиральных растворителях, т. е. не принимать во внимание энантиомерные пары (например, на схеме 1 энантиомеры b и b эндо-изомера), то из детального рассмотрения структурной формулы спирофосфоранов I и II можно ожидать, что при температурах ниже температуры начала исевдовращения возможно существование по крайней мере 20 спектрально различимых стереоизомеров. Однако многие из них по правилу электроотрицательности (э.о.) Муттерти (5) и принципу напряжения (2) могут быть исключены из рассмотрения.

Для выбора реально существующих конфигураций нужно учесть, что длины связей Р—О (2,02 Å) и Р—С (2,13 Å) значительно превышают размеры связей С—О и С—С, поэтому углы <u>С</u>ОРС в цикле A и <u>С</u>ОРО в пикле В становятся меньшими 110° и стремятся к 90°. Между тем диэкваториальное расположение фатомов одного из циклов в тригональной бипирамиде потребовало бы для этих углов значения 120°. Поэтому в рассматриваемых спирофосфоранах более вероятны аксиальноэкваториальные (++) и (--) конфигурации α -атомов циклов A и B, когда α -углерод и OCH₃-группа лежат в основании бипирамиды (схема 1). Новая нумерация атомов, необходимая для описания конфигурации тригональной бипирамиды, приведена на схеме 1 в порядке уменьшения э.о. атомов, окружающих фосфор. В соединениях I и II фосфор окружен четырьмя кислородами и одним углеродом. Атомы кислорода можно различить по э.о., если их рассматривать в составе структурных фрагментов. В литературе отсутствуют данные об э.о. фрагментов $-OCH(CH_3)CH_2-$, $-OCH_2CH_2-$ и -O-CH=, поэтому мы использовали эффективные э.о. сходных атомных группировок, оцененных в работе (6) из вицинальных констант спин-спинового взаимодействия вида 3 Гранс олефинов. Фрагменту — ОСН (СН₃) СН₂— можно сопоставить группу изо-PrO, для которой X = 3.70; фрагменту — $O(CH_2)_2$

сопоставляем группу OC_2H_5 (X = 3,34), фрагменту -OCH = - группу OPh (X = 3,40) *, а э.о. группы OCH_3 полагаем равной X = 3,50.

Из схемы 1 видно, что из-за асимметричности атома углерода 9—С каждой возможной конфигурации бипирамиды соответствуют эндо- и экзо-изомеры, в которых химическое окружение и, следовательно, эффективное магнитное поле на протонах не идентично. Это можно легко понять, рассматривая, например, для конфигурации (13) (245) проекции Ньюмена эндо- и экзо-изомеров:

Однако из-за 1,3-взаимодействия 9—С H_3 -группы с 7—На и группой ОС H_3 стереоизомер (13) (245) — b (экзо-) менее вероятен, нежели изомер (13) (245) — b (эндо-). Очевидно, энантиомерные пары (13) (245) — b (эндо-) и (13) (254) — \overline{b} (эндо-) в ахиральном растворителе методом я.м.р. неразличимы, но стереоизомерные пары (13) (245) — \overline{b} (эндо-): (13) (254) — \overline{b} (эндо-): (13) (245) — \overline{b} (экзо-) и (13) (254) — \overline{b} (эндо-): (13) (245) — \overline{b} (экзо-) должны спектрально различаться как в хиральных, так и ахиральных растворителях.

Действительно, обращаясь к спектру я.м.р. H^1 (рис. 1а), видим, что вместо одного дублета дублетов группы 9— CH_3 , обусловленного спиновым взаимодействием с метиновым протоном и ядром P^{34} , имеем два дублета дублетов. Удвоение линий свидетельствует о наличии двух стереоизомеров. Двойной тотальный я.м.д.р. эксперимент вида $H^1 - \{P^{34}\}$ подтверждает природу дополнительной дублетности (рис. 1, z, $t+23^{\circ}$ C). После спиновой развязки от ядра P^{34} спектр п.м.р. действительно показывает два дублета разной интенсивности, что позволяет оценить соотношение изоме-

^{*} Сопоставление фрагмента — ОСН = группе — ОРН является грубым приближением, однако в работе (6) и других литературных источниках данные о $J_{\rm HH}^{\rm TDahc}$ во фрагменте ОСН = СН—R отсутствуют.

ров (56: 44%). Аналогичное удвоение линий происходит и для ОСН₃-груп-

пы (в спектре п.м.р. соединения II, $\delta_{R=CH_3} = 1.74$ м.д.) (4).

Дальние константы ${}^4J_{\text{Росси}_3}$ в обоих изомерах не одинаковы (1,3 и 2,5 гц). Так как константа ${}^4J_{\text{PH}}$ стереоспецифична (7), то наблюдаемое большое различие в дальних константах указывает на то, что либо конформация CH_3 -группы в обоих изомерах подобна, тогда разница констант обусловлена различной конфигурацией тригональной бипирамиды, либоразличие изомеров обусловлено разным положением (экваториальным или

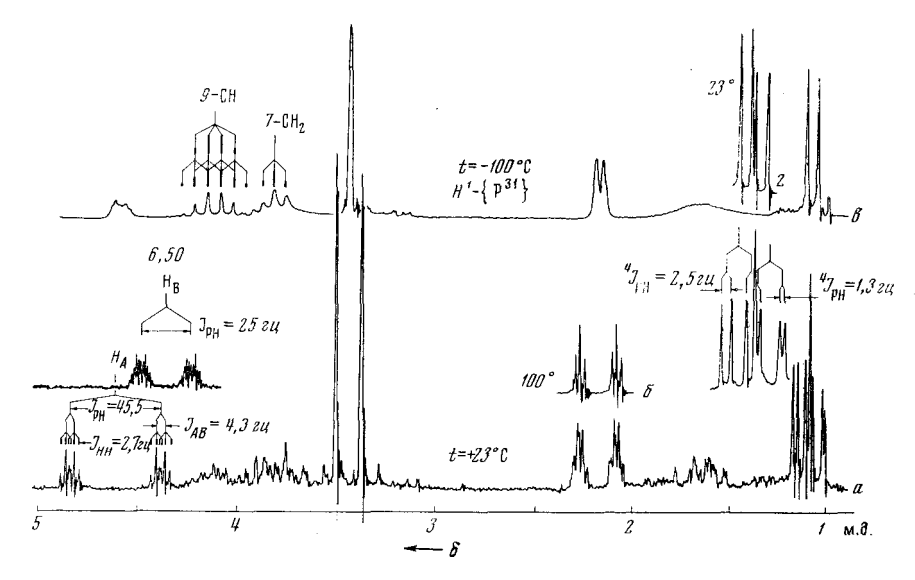


Рис. 1. Спектры я.м.р. и я.м.д.р. $H^1 - \{P^{31}\}$ 1,6,10-триокса-9-метил-[(5-метокси)-5-фосфоспиро-(4,5)]-децена-2 (I) при частоте протонного резонанса $v_0 = 100$ Мгц. Все спектры записаны при частотном сканировании. Линия тетраметилсилана — внутреннего стандарта служила для стабилизации резонансных условий

аксиальным) СН₃-группы в шестичленном цикле, находящемся в преимущественной конформации кресла. Мы считаем, что вторая альтернативало обсужденной выше причине менее вероятна. Так как э.о. атомов кислорода 6—О и 10—О сильно различаются, то возможные конфигурации (34) (125) — h (эндо-) и (34) (152) — h (экзо-) также менее вероятны по правилу Муттерти.

Таким образом, при комнатной температуре в рассматриваемом образце, по-видимому, присутствуют стереоизомеры типа b (эндо-) и \overline{b} (экзо-) (см. схему 1) с экваториальной конформацией метила при кресловидной конформации цикла В и конформации конверта цикла А. Следовательно, если вызвать быстрое (в шкале времени я.м.р.) псевдовращение при умеренно высоких температурах, то оно будет соответствовать конфигурационной изомеризации без разрыва связей обоих циклов. В результате этой изомеризации удвоение линий должно исчезнуть. Действительно, при температуре $+100^\circ$ происходит упрощение спектра, которое наглядно проявляется в дополнительных условиях двойного тотального резонанса $H^1 - \{P^{31}\}$ (рис. 1e). Резонанс метинового протона 9-CH-группы проявляется теперь как секстет, что возможно, учитывая строгую стереоспецифичность вицинальной константы $^3J_{\rm HH}*$, при одновременной конверсии циклов A и B.

О возникновении при $+100^{\circ}$ С быстрой инверсии пятичленного циклаговорит вид линии монорезонанса метиленовых протонов при углероде

4—С, которые проявляются теперь в виде двух триплетов (рис. 16). Такая же картина резонанса подобных протонов была нами наблюдена ранее в 2,2,2-триметокси- Δ^4 -оксафосфолене (8), где уже при комнатной температуре происходит быстрое псевдовращение.

Химический институт им. А. М. Бутлерова Казанского государственного университета им. В. И. Ульянова-Ленина Поступило 28 II 1972

ЦИТИРОВАННАЯ ЛИТЕРАТУРА

¹ F. Ramirez, Colloque sur la Chimie Organique du Phosphore, Pariz, 1969, р. 62.
² D. Houalla, M. Sanchez et al., Organic magnetic Resonance, 3, 45 (1971).
³ A. X. Вознесенская, Н. А. Разумова, А. А. Петров, ЖОХ, 39, 1033 (1969).
⁴ Б. А. Арбузов, Ю. М. Мареев и др., 205, № 4 (1972).
⁵ E. H. Muetterties. R. A. Schunn, Quart. Rev., 200, 245 (1966).
⁶ C. В. Ялымова, Ю. Ю. Самитов, Жур. орг. хим., 6, 1945 (1970).
⁷ H. R. Виуѕ, Rec. trav. chim., Pays — Bas, 89, 1244 (1970).
⁸ Б. А. Арбузов, О. Д. Золова и др., ДАН, 173, 335 (1967).